



Gorgan University of Agricultural  
Sciences and Natural Resources

## Food Processing and Preservation Journal

Print ISSN: 2423-3544

Online ISSN: 2423-3803



Iranian Association of Food Scientists  
and Technologists

### Optimization of Quinoa Protein Emulsion Activity Index and Stability

Niloufar Hamedanian<sup>1</sup>, Nafiseh Zamindar<sup>2\*</sup>

<sup>1</sup> Master Student, Department of Food Science and Technology, College of Agriculture, Isfahan (Khorasan) Branch, Islamic Azad University, Isfahan, Iran.

<sup>2</sup> Associate Professor, Department of Food Science and Technology, College of Agriculture, Isfahan (Khorasan) Branch, Islamic Azad University, Isfahan, Iran, Email: n.zamindar@khusf.ac.ir

#### Article Info

Article type:  
Research Full Paper

Article history:  
Received: 2024-9-19  
Revised: 2024-10-26  
Accepted: 2024-11-5

Keywords:  
Emulsion stability  
Quinoa Protein  
Response surface method  
Emulsion Activity Index

#### ABSTRACT

**Background and objectives:** traditional protein sources such as meat and dairy are facing environmental and resource efficiency challenges. Therefore, paying attention to alternative protein sources that can meet nutritional needs and at the same time be environmentally friendly has been found particularly important. Quinoa (*Chenopodium quinoa Willd*), a pseudocereal native to the Andean region, has attracted much attention due to its high nutritional value and numerous health benefits. The aim of this research was developing and optimizing a method for extracting quinoa protein regarding its functional properties in terms of emulsion activity and stability.

**Materials and Methods:** Quinoa flour was prepared from quinoa seeds and defatted with n-hexane, a suspension of flour and distilled water was prepared and pH was adjusted with sodium hydroxide solution according to the table suggested by the software used for the response surface method. The suspension was centrifuged and then the supernatant solution reached isoelectric pH with hydrochloric acid solution and the second centrifugation was performed, then the sediments were washed, neutralized and dried in a freeze dryer and the emulsion activity index and emulsion stability were measured. Protein extraction for evaluation of functional properties of quinoa was done using response surface method (RSM). The independent variables included isoelectric pH (4-5 minutes), centrifuge temperature (3-5 degrees Celsius) and alkaline pH (9-12). For data analysis design expert software and Box Benchen design with 6 replications at central point at probability of 5% was used. The t-student test was used to compare predicted and experimented conditions of optimal point.

**Results:** The results of analysis of variance to investigate the dependent variable of emulsion activity index showed that the quadratic model was significant ( $p < 0.0001$ ). The interaction of temperature  $\times$  isoelectric pH, alkaline pH  $\times$  isoelectric pH, and alkaline pH  $\times$  temperature were significant ( $p < 0.0001$ ). Statistical analysis showed the dependent variable of emulsion stability shows that the quadratic model was significant ( $p < 0.0001$ ). The interaction effect of temperature  $\times$  isoelectric pH, alkaline pH  $\times$

---

isoelectric pH, and alkaline pH × temperature were significant ( $p < 0.05$ ). The results showed that the quadratic model could be used to predict the dependent variables. Isoelectric pH changes had a significant effect on emulsion activity index and its stability ( $p < 0.05$ ). Temperature changes had a significant effect on emulsion activity index and its stability ( $p < 0.05$ ). Changes in the alkaline pH had a significant effect on the emulsion activity index and its stability ( $p < 0.05$ ). For numerical optimization, the values of the independent variables were within the defined range and the dependent variables were set to the maximum state.

**Conclusion:** The proposed treatment included alkaline pH of 9.00, isoelectric pH of 5 and temperature of 4.064 degrees Celsius. The experimented tests were performed in three repetitions. T-student test showed no significant difference between predicted and experimented conditions ( $p > 0.05$ ). The results showed that quinoa protein could be used as an emulsifier in the food industry.

---

**Cite this article:** Hamedanian, N., Zamindar, N. 2024. Optimization of Quinoa Protein Emulsion Activity Index and Stability. *Food Processing and Preservation Journal*, 16(3), 101-114.



© The Author(s).  
DOI: 10.22069/fppj.2024.22803.1836  
Publisher: Gorgan University of Agricultural Sciences and Natural Resources

---

### بهینه‌سازی شاخص فعالیت و پایداری امولسیون پروتئین کینوا

نیلوفر همدانیان<sup>۱</sup>, نفیسه زمین دار<sup>۲\*</sup>

<sup>۱</sup> دانش آموخته کارشناسی ارشد مهندسی علوم و صنایع غذایی، دانشکده کشاورزی، دانشگاه آزاد اسلامی واحد اصفهان (خوارسگان)، اصفهان، ایران  
<sup>۲</sup> دانشیار، گروه علوم و صنایع غذایی، دانشکده کشاورزی، دانشگاه آزاد اسلامی واحد اصفهان (خوارسگان)، اصفهان، ایران، رابطه ایمیل: n.zamindar@khuisf.ac.ir

اطلاعات مقاله چکیده

**سابقه و هدف:** منابع پروتئینی سنتی مانند گوشت و لبیات با چالش‌های زیست محیطی و کارایی منابع مواجه هستند. از این‌رو، توجه به منابع پروتئینی جایگزین که بتوانند نیازهای تغذیه‌ای را برآورده کنند و در عین حال دوست‌دار محیط‌زیست باشند، اهمیت ویژه‌ای یافته است. کینوا (*Chenopodium quinoa* Willd)، یک شبیه غلات بومی منطقه آنديان، به دلیل ارزش غذایی بالا و فواید سلامتی متعدد، توجه بسیاری را به خود جلب کرده است. هدف از این تحقیق توسعه و بهینه‌سازی روشی برای استخراج پروتئین کینوا با توجه به خواص عملکردی آن از نظر فعالیت امولسیونی و پایداری بود.

تاریخ دریافت: ۱۴۰۳/۰۶/۲۹

تاریخ ویرایش: ۱۴۰۳/۰۷/۰۵

تاریخ پذیرش: ۱۴۰۳/۰۸/۱۵

**مواد و روش‌ها:** آرد کینوا از دانه‌های کینوا تهیه و چربی‌زدایی آن با *n*-هگزان انجام شد، سوسپانسیونی از آرد و آب مقطر تهیه *pH* با محلول هیدروکسید سدیم مطابق جدول پیشنهادی نرم افزار مورد استفاده برای روش سطح پاسخ تنظیم شد. سوسپانسیون سانتریفیوژ شد و سپس محلول رویی با محلول اسید کلریدریک به *pH* ایزوالکتریک رسید و سانتریفیوژ دوم انجام شد سپس شستشوی رسوبات، خشی کردن آن‌ها و خشک کردن رسوبات در خشک‌کن انجام داد و اندازه‌گیری شاخص فعالیت امولسیون و پایداری امولسیون انجام شد. استخراج پروتئین برای ارزیابی خواص عملکردی کینوا با استفاده از روش سطح پاسخ (RSM) انجام شد. متغیرهای مستقل شامل *pH* ایزوالکتریک (۴-۵ دقیقه)، دمای سانتریفیوژ (۳-۵ درجه سانتی‌گراد) و *pH* قلیایی (۹-۱۲) بودند. برای تحلیل داده‌ها از نرم افزار دیزاین اکسپرت و طرح *t*-Box Benchen با تکرار در نقطه مرکزی در سطح احتمال ۵ درصد استفاده شد. آزمون student برای مقایسه شرایط پیش‌بینی شده و آزمایش شده نقطه بهینه استفاده شد.

واژه‌های کلیدی:

پایداری امولسیون

پروتئین کینوا

روش سطح پاسخ

شاخص فعالیت امولسیون

**یافته‌ها:** نتایج آنالیز واریانس برای بررسی متغیر وابسته شاخص فعالیت امولسیونی نشان داد که مدل درجه دوم معنی‌دار است ( $p < 0.001$ ). اثر متقابل دما  $\times$  *pH* ایزوالکتریک، *pH* قلیایی  $\times$  *pH* ایزوالکتریک و *pH* قلیایی  $\times$  دما معنی‌دار بود ( $p < 0.001$ ). تجزیه و تحلیل آماری نشان داد که مدل درجه دوم برای متغیر وابسته پایداری امولسیون معنی‌دار است ( $p < 0.001$ ). اثر متقابل دما  $\times$  *pH* ایزوالکتریک، *pH* قلیایی  $\times$  *pH* ایزوالکتریک و *pH* قلیایی  $\times$  دما معنی‌دار بود ( $p < 0.05$ ). نتایج نشان داد که می‌توان از مدل درجه دوم برای پیش‌بینی متغیرهای وابسته

---

استفاده کرد. تغییرات pH ایزوالکتریک بر شاخص فعالیت امولسیون و پایداری آن تأثیر معنی داری داشت ( $p < 0.05$ ). تغییرات دما بر شاخص فعالیت امولسیونی و پایداری آن تأثیر معنی داری داشت ( $p < 0.05$ ). تغییرات در pH قلیایی تأثیر معنی داری بر شاخص فعالیت امولسیونی و پایداری آن داشت ( $p < 0.05$ ). برای بهینه سازی عددی، مقادیر متغیرهای مستقل در محدوده تعريف شده و متغیرهای وابسته در حداقل حالت قرار گرفتند.

**نتیجه گیری:** تیمار بهینه پیشنهادی شامل pH قلیایی ۹، pH ایزوالکتریک ۵ و دمای ۴۰/۶۴ درجه سانتی گراد بود. آزمون های انجام شده در سه تکرار انجام شد. آزمون T-student تفاوت معنی داری را بین شرایط پیش بینی شده و آزمایشی نشان نداد ( $p > 0.05$ ). نتایج نشان داد که پروتئین کینوا می تواند به عنوان امولسیفایر در صنایع غذایی استفاده شود.

---

استناد: همدانیان، نیلوفر؛ زمین دار، نفیسه. (۱۴۰۳). بهینه سازی شاخص فعالیت و پایداری امولسیون پروتئین کینوا. فرآوری و نگهداری مواد غذایی، ۱۶(۳)، ۱۱۴-۱۰۱.



© نویسنده‌گان.

DOI: 10.22069/fppj.2024.22803.1836

ناشر: دانشگاه علوم کشاورزی و منابع طبیعی گرگان

## مقدمه

با افزایش جمعیت جهانی، نیاز به منابع غذایی پایدار و مغذی به طور چشمگیری افزایش یافته است [۱]. پروتئین به عنوان یکی از اجزای اساسی رژیم غذایی انسان، نقش حیاتی در رشد، ترمیم و حفظ سلامت عمومی بدن ایفامی کند [۲]. منابع پروتئینی سنتی مانند گوشت و لبیات با چالش‌های زیست‌محیطی و کارایی منابع مواجه هستند [۳]. از این‌رو، توجه به منابع پروتئینی جایگزین که بتوانند نیازهای تغذیه‌ای را برآورده کنند و در عین حال دوست‌دار محیط‌زیست باشند، اهمیت ویژه‌ای یافته است [۴].

کینوآ (*Chenopodium quinoa* Willd)، یک شبیه غلات بومی منطقه آنดیان، به دلیل ارزش غذایی بالا و فواید سلامتی متعدد، توجه بسیاری را به خود جلب کرده است [۵]. کینوآ به‌ویژه به دلیل محتوای پروتئین بالای خود که شامل تمام نه آمینواسید ضروری است، به عنوان یک منبع پروتئینی کامل شناخته می‌شود [۶]. این ویژگی منحصر به‌فرد، کینوآ را به گزینه‌ای امیدوارکننده برای رفع کمبودهای پروتئینی در جوامع مختلف تبدیل کرده است [۷].

در علم غذا، امولسیون‌ها به‌طور گستردگی در فرمولاسیون محصولات مختلف از جمله سس‌ها، نوشیدنی‌ها و چاشنی‌ها استفاده می‌شوند [۸، ۹]. امولسیون‌ها مخلوطی از دو مایع غیرقابل امتزاج هستند که یکی از آن‌ها به صورت قطرات ریز در دیگری پراکنده شده است [۱۰]. پایداری و فعالیت امولسیون‌های پروتئینی برای کیفیت و ماندگاری این محصولات حیاتی است [۱۱، ۱۲]. با این حال، بهینه‌سازی خواص امولسیون پروتئین کینوآ به دلیل تغییرات در شرایط استخراج و خواص فیزیکو‌شیمیایی پروتئین، چالشی پیچیده است [۱۳].

این مطالعه باهدف بهینه‌سازی شاخص فعالیت امولسیون (EAI) و شاخص پایداری امولسیون (ESI) پروتئین کینوآ با استفاده از روش سطح پاسخ (RSM) انجام شده است [۱۴]. گسترده‌ترین کاربردهای RSM در شرایطی است که چندین متغیر ورودی بر برحی از معیارهای عملکردی یا ویژگی‌های کیفی تأثیر می‌گذارند [۱۵]. با تغییر متغیرهای دمای استخراج، pH قلیایی و pH ایزوکلریک، شرایط بهینه‌ای شناسایی شد که هر دو شاخص EAI و ESI را به حداقل برساند [۱۶]. یافته‌های این پژوهش به توسعه امولسیون‌های پروتئینی کینوآ با کیفیت بالا و پایدار کمک خواهد کرد و یک جایگزین پایدار برای منابع پروتئینی سنتی در صنعت غذا ارائه می‌دهد [۱۷].

علاوه بر این، نتایج این پژوهش می‌تواند به بهبود فرآیندهای تولید و افزایش کارایی در صنعت غذا کمک کند [۱۸]. با توجه به افزایش تقاضا برای محصولات غذایی سالم و پایدار، استفاده از پروتئین کینوآ در فرمولاسیون امولسیون‌ها می‌تواند به عنوان یک راهکار نوآورانه و مؤثر مطرح شود [۱۹]. این مطالعه همچنین می‌تواند به تحقیقات بیشتر در زمینه استفاده از سایر منابع پروتئینی گیاهی در تولید امولسیون‌های غذایی کمک کند و به توسعه محصولات غذایی جدید و متنوع منجر شود [۲۰].

در این راستا، بررسی تأثیر متغیرهای مختلف بر شاخص فعالیت و پایداری امولسیون پروتئین کینوآ از اهمیت ویژه‌ای برخوردار است [۲۱]. دمای استخراج، pH قلیایی و pH ایزوکلریک از جمله متغیرهای کلیدی هستند که می‌توانند بر خواص امولسیون تأثیر بگذارند [۲۲]. بهینه‌سازی این متغیرها می‌تواند به بهبود کیفیت و پایداری امولسیون‌های پروتئینی کمک کند و در نهایت منجر به تولید محصولات غذایی با کیفیت بالاتر شود [۲۳].

## مواد و روش‌ها

مواد: در این پژوهش، دانه کینوآ (*Chenopodium quinoa* Willd) از سازمان جهاد کشاورزی ایران تهیه شد. دانه‌های کینوآ با استفاده از آسیاب برقی به صورت آرد درآمد و در آزمون‌ها استفاده شد.

روش‌ها: برای استخراج پروتئین‌های کینوآ در شرایط قلیایی، با توجه به طرح آزمایشی از روش شرح داده شده در شکل ۱، استفاده شد [۲۶].

در این پژوهش، با استفاده از روش سطح پاسخ (RSM)، تأثیر متغیرهای مذکور بر شاخص فعالیت و پایداری امولسیون پروتئین کینوآ مورد بررسی قرار گرفته است [۲۴]. نتایج این پژوهش می‌تواند به توسعه روش‌های بهینه‌سازی در صنعت غذا کمک کند و به تولید محصولات غذایی با کیفیت و پایدار منجر شود [۲۵]. همچنین این پژوهش می‌تواند به عنوان یک مرجع علمی برای تحقیقات آینده در زمینه استفاده از پروتئین‌های گیاهی در تولید امولسیون‌های غذایی مورد استفاده قرار گیرد.



شکل ۱- فلوچارت استخراج پروتئین کینوآ

Figure 1- Quinoa protein extraction flowchart

ریخته شد و مقدار جذب نور در زمان صفر<sub>۰</sub> و ده دقیقه بعد<sub>۱۰</sub> A<sub>۱۰</sub>، خوانده شد [۲۷].

رابطه ۱: [۲۷]

$$EAI \left( \frac{m^2}{g} \right) = \frac{A_0 * 2 * 2.303 * N}{1000 * \text{غلظت} * \text{کسر حجمی روغن}}$$

EAI = شاخص فعالیت امولسیون  
A<sub>۰</sub> = جذب نور در زمان صفر  
N = میزان رقت سوسپانسیون پروتئین در سل اسپکتروفوتومتر

مقدار فعالیت امولسیون شوندگی و پایداری آن: مقدار ۰/۱ گرم ایزوله پروتئین با ۱۰ میلی لیتر آب به مدت یک دقیقه با همزن برقی هموژن شدند سپس ۳/۳ میلی لیتر روغن آفتتابگردان اضافه شد و مجدداً یک دقیقه هموژن شدند. سپس با سمپلر مقدار ۰/۱۷ گرم از مخلوط برداشته شد و با ۱/۷ میلی لیتر محلول سدیم دو دسیل سولفات داخل سل اسپکتروفوتومتر

امولسیون پروتئین کینوآ مورد بررسی قرار گرفت. در این بررسی از روش سطح پاسخ، طرح باکس بنکن و نرمافزار Design Expert نسخه ۱۱ استفاده شد که تعداد اجراء مطابق پیشنهاد طرح و طبق جدول ۲، ۱۸ اجرا با ۶ تکرار در نقطه مرکزی بود. همچنین شرایط پیش‌بینی شده توسط نرمافزار برای بیشترین فعالیت و پایداری امولسیون با شرایط آزمایشگاهی مورد مقایسه قرار گرفت. شرایط بهینه تجربه شده با آزمون T-Student در سطح احتمال ۰.۵٪ با مقدار پیش‌بینی شده نرمافزار مورد مقایسه قرار گرفت.

غلظت پروتئین (گرم/ میلی لیتر)

$$ESI(min) = \frac{A_{10}}{A_0 - A_{10}} * t \quad \text{رابطه ۲:}$$

$ESI$ =شاخص پایداری امولسیون

$A_0$ =جذب نور در زمان صفر

$A_{10}$ =جذب نور پس از ده دقیقه

$t$ =زمان(دقیقه)

### تجزیه و تحلیل آماری

در این پژوهش، اثر متغیرهای مستقل pH ایزوالکتریک (۴-۵)، دمای سانتریفیوژ (۳-۵ درجه سانتی گراد) و pH قلیایی (۹-۱۲) بر فعالیت و پایداری

جدول ۱- مقادیر واقعی و کد شده متغیرهای مستقل برای طراحی آزمایشی

Table 1- Real and coded values of independent variables for design of experimental design

| فاکتور<br>Factor | نام<br>Name                      | واحد<br>Units | پایین ترین مقدار<br>Minimum | بالاترین مقدار<br>Maximum | کد پایین<br>Coded Low | کد بالا<br>Coded High | میانگین<br>Mean |
|------------------|----------------------------------|---------------|-----------------------------|---------------------------|-----------------------|-----------------------|-----------------|
| A                | pH ایزوالکتریک<br>Isoelectric pH |               | 4.00                        | 5.00                      | -1 ↔ 4.00             | +1 ↔ 5.00             | 4.50            |
| B                | دما<br>Temperature               | °C            | 3.00                        | 5.00                      | -1 ↔ 3.00             | +1 ↔ 5.00             | 4.00            |
| C                | pH قلیایی<br>Alkaline pH         |               | 9.00                        | 12.00                     | -1 ↔ 9.00             | +1 ↔ 12.00            | 10.50           |

و pH قلیایی تأثیر معنی داری داشتند ( $p < 0.001$ ). با توجه به نتایج به دست آمده اثر متقابل دمای pH ایزوالکتریک، pH قلیایی  $\times$  pH ایزوالکتریک و pH قلیایی  $\times$  دما معنی دار بود ( $p < 0.001$ ). در شکل ۲، اثر متقابل تأثیر متغیرهای pH ایزوالکتریک، دما و pH قلیایی بر روی شاخص فعالیت امولسیون پروتئین کینوآ نشان داده شده است. علاوه بر نتایج فوق تأثیر تغییرات همزمان متغیرهای دما  $\times$  pH ایزوالکتریک، pH قلیایی  $\times$  pH ایزوالکتریک و pH قلیایی  $\times$  دما بر شاخص فعالیت امولسیون پروتئین کینوآ معنی دار بود ( $p < 0.05$ ).

### نتایج و بحث

بررسی خواص عملکردی کینوآ با استفاده از روش سطح پاسخ (RSM)، انجام شد. متغیرهای مستقل مورد بررسی شامل، pH ایزوالکتریک (۴-۵ دقیقه)، دمای سانتریفیوژ (۳-۵ درجه سانتی گراد) و pH قلیایی (۹-۱۲) بود. نتایج به دست آمده از تیمارهای مختلف در جدول ۲ آورده شده است. شاخص فعالیت امولسیون پروتئین کینوآ: نتایج آنالیز واریانس بررسی متغیر وابسته شاخص فعالیت امولسیون نشان داد که اثر مدل معنی دار بود ( $p < 0.001$ ) (جدول ۳). بر اساس آنالیز واریانس، متغیر pH ایزوالکتریک، دما

جدول ۲- مقادیر متغیرهای مستقل و وابسته در اجراهای مختلف

Table 2 -Values of independent and dependent variables in different runs

| شماره<br>تیمار<br>Run | A: Isoelectric.pH<br>A: Isoelectric.pH | B: Temperature(°C)<br>B: Temperature(°C) | دما (درجه<br>سانتی گراد)<br>C:pH<br>C:pH | شناخت فعالیت امولسیون<br>(مترمربع بر گرم)<br>Emulsion Activity<br>Index(m <sup>2</sup> /gr) | شناخت پایداری<br>امولسیون (دقیقه)<br>Emulsion Stability<br>Index(min) |
|-----------------------|--|--|--|---|---|
| 1                     | 4.5                                    | 4  | 10.5                                     | 14.4  | 50.41   |
| 2                     | 4.5                                    | 3  | 12                                       | 14.08   | 15.01   |
| 3                     | 5                                      | 3  | 10.5                                     | 13.9  | 52.19   |
| 4                     | 4                                      | 4  | 12                                       | 10.01   | 46.89   |
| 5                     | 4.5                                    | 3  | 9  | 17.91   | 20.05   |
| 6                     | 5                                      | 5  | 10.5                                     | 9.09  | 22.01   |
| 7                     | 5                                      | 4  | 9  | 17.48   | 44.7  |
| 8                     | 4.5                                    | 4  | 10.5                                     | 14.5  | 52.23   |
| 9                     | 4.5                                    | 5  | 9  | 16.86   | 30.32   |
| 10                    | 4                                      | 3  | 10.5                                     | 11.37   | 26.95   |
| 11                    | 5                                      | 4  | 12                                       | 9.03  | 20.89   |
| 12                    | 4.5                                    | 4  | 10.5                                     | 14.41   | 50.71   |
| 13                    | 4.5                                    | 4  | 10.5                                     | 14.4  | 51.12   |
| 14                    | 4.5                                    | 4  | 10.5                                     | 14.44   | 50.41   |
| 15                    | 4.5                                    | 4  | 10.5                                     | 14.41   | 51.73   |
| 16                    | 4                                      | 4  | 9  | 14.22   | 42.86   |
| 17                    | 4                                      | 5  | 10.5                                     | 9.13  | 70.96   |
| 18                    | 4.5                                    | 5  | 12                                       | 7.9   | 14.8  |

افزایش یافت. به دلیل داشتن هر دو سطح آب دوست و آب گریز و در نتیجه فعالیت سطحی بالا در ساختار هیدرولیز پروتئینی کینوا، خاصیت امولسیون کنندگی افزایش می‌یابد. با این حال، فعالیت امولسیون در صورت هیدرولیز بیش از حد پروتئین کاهش یافته و ضعیف می‌شود[۲۷]. با توجه به شکل ۲، مشخص است که با افزایش pH قلیایی، شناخت فعالیت امولسیون پروتئین کینواً کاهش پیدا کردۀ است. همچنین با افزایش دما از ۳ درجه سانتی گراد به ۵ درجه سانتی گراد، شناخت فعالیت امولسیون پروتئین کینواً ابتدا افزایش و سپس کاهش پیدا کردۀ است یعنی در دمای ۴ درجه سانتی گراد بیشترین فعالیت امولسیون مشاهده شد. تأثیر تغییرات pH ایزوالکتریک بر روی شناخت فعالیت امولسیون پروتئین کینواً را نشان می‌دهد که با افزایش pH ایزوالکتریک شناخت فعالیت امولسیون پروتئین کینواً افزایش پیدا کرده است. بیشترین شناخت فعالیت امولسیون پروتئین کینواً در حد بالایی تغییر pH ایزوالکتریک، حد متوسط دمایی و حد پایین pH قلیایی به دست آمده

در راستای نتایج عنوان شده، مدل درجه دوم به دست آمده از نتایج پژوهش نشان داده است که با افزایش متغیر pH ایزوالکتریک شناخت فعالیت امولسیون پروتئین کینواً افزایش می‌یابد؛ اما با افزایش pH قلیایی شناخت فعالیت امولسیون پروتئین کینواً کاهش می‌یابد. نتایج بدست آمده با مشاهدات تجربی همخوانی داشت زیرا با بالا و پایین شدن حد متغیر pH قلیایی و دما شناخت فعالیت امولسیون پروتئین کینواً تغییرات محسوسی داشت. آب گریزی سطح یکی از شاخصه‌های مهم جهت پیش‌بینی ویژگی‌های عملکردی مثل خاصیت امولسیون کنندگی و پایداری آن می‌باشد و می‌تواند قطبیت محیط امولسیون را افزایش دهد [۲۸]. نتایج تحقیقات محققان نشان داد که در pH های متفاوت هیدرولیز پروتئین کینواً فعالیت امولسیون کنندگی بالاتری نسبت به کنسانتره پروتئین کینواً داشت که نشان‌دهنده توانایی پپتیدهای کوچکتر با وزن مولکولی کمتر در مقایسه با مولکول‌های بزرگ پروتئین در کنسانتره پروتئین کینواً است و فعالیت امولسیون کنندگی با هیدرولیز پروتئین

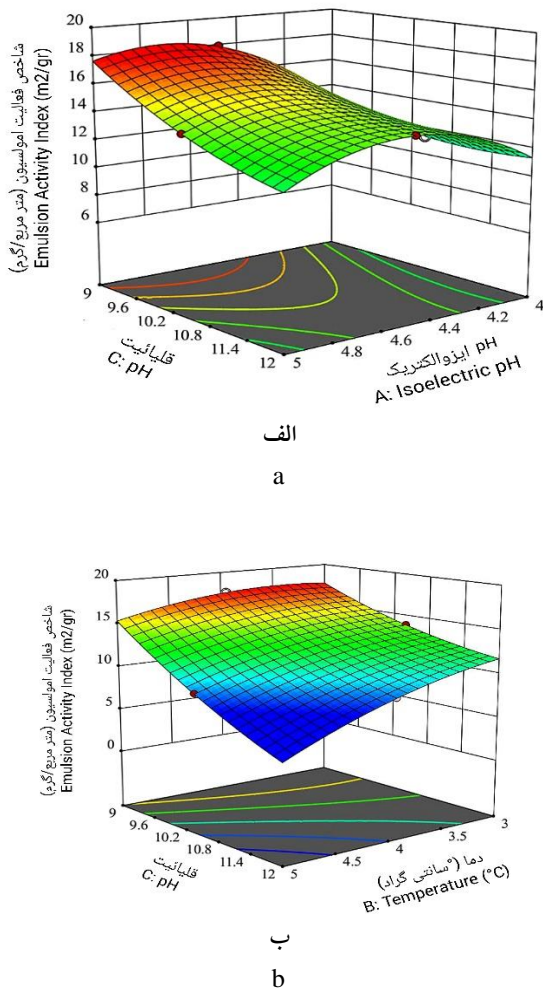
نمونه‌های عدس و نخود انجام گردید که نشان داد تغییر شرایط استخراج تأثیر معنی‌داری بر شاخص فعالیت امولسیون و پایداری آن دارد [۲۹].

است. طبق گزارش محققان بر روی نمونه کنسانتره کینوا، شاخص فعالیت امولسیون پروتئین کینوا ۱۸ درصد و پایداری امولسیون ۹۰ درصد اندازه‌گیری شد [۲۷]. همچنین تحقیقاتی با نتایج مشابه بر روی

جدول ۳- آنالیز واریانس اثر متغیرهای مستقل بر شاخص فعالیت امولسیون

Table 3- Variance analysis of the effect of independent variables on the emulsion activity index

| منبع منع Source                 | جمع مربعات Sum of Squares | درجه آزادی df  | میانگین مربعات Mean Square | F-value  | p-value  | معنی دار significant         |
|---------------------------------|---------------------------|----------------|----------------------------|----------|----------|------------------------------|
| مدل Model                       | 157.68                    | 9              | 17.52                      | 7296.84  | < 0.0001 |                              |
| A-پیروکلریک pH A-Isoelectric pH | 2.84                      | 1              | 2/84                       | 1184.53  | < 0.0001 |                              |
| B-دهمای B-Temperature           | 25.49                     | 1              | 25.49                      | 10616.14 | < 0.0001 |                              |
| C-pH                            | 80.96                     | 1              | 80.96                      | 33719.87 | < 0.0001 |                              |
| AB                              | 1.65                      | 1              | 1.65                       | 687.71   | < 0.0001 |                              |
| AC                              | 4.49                      | 1              | 4.49                       | 1871.85  | < 0.0001 |                              |
| BC                              | 6.58                      | 1              | 6.58                       | 2740.15  | < 0.0001 |                              |
| A <sup>2</sup>                  | 27.89                     | 1              | 27.89                      | 11617.63 | < 0.0001 |                              |
| B <sup>2</sup>                  | 4.59                      | 1              | 4.59                       | 1912.50  | < 0.0001 |                              |
| C <sup>2</sup>                  | 2.70                      | 1              | 2.70                       | 1124.68  | < 0.0001 |                              |
| باقي مانده Residual             | 0.0192                    | 8              | 0.0024                     |          |          |                              |
| عدم برازش Lack of Fit           | 0.0117                    | 3              | 0.0039                     | 2.58     | 0.1662   | غیر معنی دار not significant |
| خطای خالص Pure Error            | 0.0075                    | 5              | 0.0015                     |          |          |                              |
| Cor Total                       | 157.70                    | 17             |                            |          |          |                              |
| انحراف معیار Std. Dev.          | 0.0490                    |                | R <sup>2</sup>             | 0.9999   |          |                              |
| میانگین Mean                    | 13.20                     |                | Adjusted R <sup>2</sup>    | 0.9997   |          |                              |
| ضریب تغییرات C.V. %             | 0.3713                    |                | Predicted R <sup>2</sup>   | 0.9987   |          |                              |
|                                 |                           | Adeq Precision |                            | 271.9537 |          |                              |



شکل ۲-نمودار سه بعدی اثر متقابل  $pH$  ایزوالکتریک و  $pH$  قلیایی (الف)، دما و  $pH$  قلیایی (ب)، بر روی  
شاخص فعالیت امولسیون پروتئین کینوا

Figure 2- Three-dimensional diagram of the interaction of isoelectric pH and alkaline pH (a),  
temperature and alkaline pH (b), on the activity index of quinoa protein emulsion

**شاخص پایداری امولسیون پروتئین کینوا:** عوامل داخلی و خارجی بر فعالیت امولسیون و پایداری یک پروتئین تأثیر دارند. عوامل داخلی شامل شکل پروتئین، اندازه، ترکیب توالی اسید آمینه، توزیع بار خالص، ساختار (ثانویه، سوم و چهارتایی)، نسبت آب گریزی/آب دوستی و ظرفیت پروتئین ها برای تعامل با سایر اجزای ماتریکس غذایی است. عوامل خارجی عبارتند از  $pH$ ، رطوبت، دما، قدرت یونی، آنزیم ها، افزودنی های شیمیایی و فرایند مکانیکی [۳۰]. مکانیسم اصلی ثبت پروتئین ها در فصل مشترک

با توجه به موارد عنوان شده، شاخص فعالیت امولسیون پروتئین کینوا مطابق رابطه ۳ بدست آمد؛ رابطه ۳:

$$Y = -270.01 + 112.19A + 21.18B + 0.32C - 1.28AB - 1.41AC - 0.85BC - 10.11A^2 - 1.02B^2 + 0.35C^2$$

که در این رابطه Y شاخص فعالیت امولسیون پروتئین کینوا، A نماد  $pH$  ایزوالکتریک، B دمای سانتریفیوژ (درجه سانتی گراد)، C نماد  $pH$  قلیایی بر اساس مقادرهای واقعی می باشد.

## بهینه‌سازی شاخص فعالیت و پایداری امولسیون پروتئین کینوآ / نیلوفر همدانیان و نفیسه زمین دار

امولسیون نشان می‌دهد که اثر مدل معنی‌دار بود ( $p < 0.001$ ). (جدول ۴). بر اساس آنالیز واریانس، متغیر pH ایزوالکتریک، دما و pH قلیایی تأثیر معنی‌داری داشتند ( $p < 0.001$ ).

قطرات است که از ثبت فضایی و الکترواستاتیکی ناشی می‌شود که به ساختار پروتئین و pH سیستم امولسیونی بستگی دارد [۲۸]. تجزیه و تحلیل آماری، آنالیز واریانس برای بررسی متغیر وابسته پایداری

جدول ۴- آنالیز واریانس اثر متغیرهای مستقل بر شاخص پایداری امولسیون

Table 4. Variance analysis of the effect of independent variables on the emulsion stability index

| منبع<br>Source                       | جمع مربعات<br>Sum of Squares | درجه آزادی<br>df | میانگین مربعات<br>Mean Square | F-value | p-value  | معنی دار<br>significant         |
|--------------------------------------|------------------------------|------------------|-------------------------------|---------|----------|---------------------------------|
| مدل<br>Model                         | 4531.00                      | 9                | 503.44                        | 864.94  | < 0.0001 |                                 |
| A-پیزوالکتریک pH<br>A-Isoelectric pH | 286.44                       | 1                | 286.44                        | 492.12  | < 0.0001 |                                 |
| B-دما<br>B-Temperature               | 71.34                        | 1                | 71.34                         | 122.57  | < 0.0001 |                                 |
| C-pH                                 | 203.41                       | 1                | 203.41                        | 349.47  | < 0.0001 |                                 |
| AB                                   | 1376.04                      | 1                | 1376.04                       | 2364.10 | < 0.0001 |                                 |
| AC                                   | 193.77                       | 1                | 193.77                        | 332.90  | < 0.0001 |                                 |
| BC                                   | 27.46                        | 1                | 27.46                         | 47.17   | 0.0001   |                                 |
| A <sup>2</sup>                       | 125.27                       | 1                | 125.27                        | 215.22  | < 0.0001 |                                 |
| B <sup>2</sup>                       | 787.29                       | 1                | 787.29                        | 1352.60 | < 0.0001 |                                 |
| C <sup>2</sup>                       | 1355.46                      | 1                | 1355.46                       | 2328.74 | < 0.0001 |                                 |
| باقي مانده<br>Residual               | 4.66                         | 8                | 0.5821                        |         |          |                                 |
| عدم برازش<br>Lack of Fit             | 1.88                         | 3                | 0.6260                        | 1.13    | 0.4219   | غیر معنی دار<br>not significant |
| خطای خالص<br>Pure Error              | 2.78                         | 5                | 0.5557                        |         |          |                                 |
| Cor Total                            | 4535.66                      | 17               |                               |         |          |                                 |
| انحراف معيار<br>Std. Dev.            | 0.7629                       |                  | R <sup>2</sup>                | 0.9990  |          |                                 |
| میانگین<br>Mean                      | 39.68                        |                  | Adjusted R <sup>2</sup>       | 0.9978  |          |                                 |
| ضریب تغییرات<br>C.V. %               | 1/92                         |                  | Predicted R <sup>2</sup>      | 0.9925  |          |                                 |
|                                      |                              |                  | Adeq Precision                | 98.3180 |          |                                 |

کینوآ، Y که در این رابطه

می‌باشد.

جدول ۵- شرایط پیشنهادی نرم افزار برای بهینه سازی فرآیند و آزمونهای انجام شده

Table 5- Recommended conditions of the software for optimizing the process and the tests performed

| نام آمون<br>Test name                             | شرایط پیشنهادی<br>Recommended conditions | آزمون انجام شده<br>Tests performed |
|---|--|------------------------------------|
| شاخص فعالیت امولسیون<br>Emulsion Activity Index   | 17.446                                   | $17.37 \pm 0.5^{ns}$               |
| شاخص پایداری امولسیون<br>Emulsion Stability Index | 43.975                                   | $43.66 \pm 0.5^{ns}$               |

عدم معنی دار ns

تأثیر pH قرار دارد و کاهش در پایداری امولسیون‌ها با گذشت زمان به دلیل تماس بیشتر بین مولکول‌ها و در نتیجه لخته شده و بهم پیوستن قطرات روغن به عنوان فاز پراکنده می‌باشد [۳۱].

**بهینه‌سازی پروتئین کینوا:** برای بهینه‌سازی عددی، مقادیر متغیرهای مستقل در محدوده تعريف شده و متغیرهای وابسته در حالت حداقل قرار گرفتند و مطابق با تیمار پیشنهادی که شامل pH قلیایی ۹/۰۰، pH ایزوالکتریک ۵ و دمای ۴/۰۶۴ درجه سانتی‌گراد با درجه مطلوبیت ۰/۷۰۴ بود، آزمون‌ها در سه تکرار انجام شد و با آزمون t-student مورد مقایسه قرار گرفت و اختلاف معنی‌دار مشاهده نشد ( $P > 0/05$ ). (جدول ۵).

### نتیجه‌گیری

در این پژوهش، بهینه‌سازی خواص عملکردی فعالیت و پایداری امولسیون پروتئین کینوا با استفاده از روش سطح پاسخ انجام و پارامترهای pH ایزوالکتریک، دما و pH قلیایی به عنوان متغیرهای مستقل انتخاب شد. نتایج نشان داد که مدل آماری درجه دوم به منظور پیش‌بینی متغیرهای وابسته، قابل استفاده بود. تغییرات pH ایزوالکتریک تأثیر معنی‌داری بر میزان شاخص فعالیت امولسیون و پایداری آن داشت ( $p \leq 0/05$ ). تغییرات دما تأثیر معنی‌داری بر میزان شاخص فعالیت امولسیون و پایداری آن داشت ( $p \leq 0/05$ ). تغییرات pH قلیایی تأثیر معنی‌داری بر میزان شاخص فعالیت امولسیون و پایداری آن داشت ( $p \leq 0/05$ ). بررسی تیمار بهینه‌پیشنهادی نرم‌افزار با نتایج آزمون تفاوت معنی‌دار نداشت. نتایج نشان داد پروتئین کینوا قابلیت مصرف به عنوان امولسیفایر در صنایع غذایی را دارد.

با توجه به نتایج به دست آمده اثر متقابل دما  $\times$  pH ایزوالکتریک، pH قلیایی  $\times$  pH ایزوالکتریک و pH قلیایی  $\times$  دما معنی‌دار بود ( $p < 0/05$ ). مدل درجه دوم به دست آمده از نتایج پژوهش نشان داده است که با افزایش متغیر pH ایزوالکتریک پایداری امولسیون پروتئین کینوا کاهش می‌یابد؛ اما با افزایش دما پایداری امولسیون پروتئین کینوا افزایش می‌یابد. نتایج بدست آمده با مشاهدات تجربی همخوانی داشت زیرا با بالا و پایین شدن حد متغیر دما پایداری امولسیون پروتئین کینوا تغییرات محسوسی داشت. با توجه به شکل ۳، مشخص است که با افزایش pH قلیایی، پایداری امولسیون پروتئین کینوا ابتدا افزایش و سپس کاهش پیدا کرده است بدین معنی که بیشترین پایداری امولسیون پروتئین کینوا در نقطه ۱۰/۵ از pH قلیایی مشاهده شد. همچنین با افزایش دما از ۳ درجه سانتی‌گراد به ۵ درجه سانتی‌گراد، پایداری امولسیون پروتئین کینوا افزایش پیدا کرده است. تأثیر تغییرات pH ایزوالکتریک بر روی پایداری امولسیون پروتئین کینوا نشان می‌دهد که با افزایش pH ایزوالکتریک پایداری امولسیون پروتئین کینوا کاهش پیدا کرده است. بیشترین پایداری امولسیون پروتئین کینوا در حد بالایی متغیر دما، حد متوسط pH قلیایی و حد پایین pH ایزوالکتریک به دست آمده است. طبق تحقیقات انجام شده بر روی نمونه کنسانتره کینوا، شاخص فعالیت امولسیون پروتئین کینوا ۱۸ درصد و پایداری امولسیون ۹۰ درصد اندازه‌گیری شد [۲۷]. همچنین تحقیقاتی با نتایج مشابه بر روی نمونه‌های عدس و نخود انجام گردید که نشان داد تغییر شرایط استخراج تأثیر معنی‌داری بر شاخص فعالیت امولسیون و پایداری آن دارد [۲۹]. همسو با نتایج به دست آمده محققان گزارش کردند که پایداری امولسیون‌ها تحت

## References

- Smith, R., Clegg, M., & Methven, L. (2024). Review of protein intake and suitability of foods for protein-fortification in older adults in the UK. *Critical Reviews in Food Science and Nutrition*, 64(12), 3971-3988.
- Parodi, A., Leip, A., De Boer, I., Slegers, P., Ziegler, F., Temme, E. H., Herrero, M., Tuomisto, H., Valin, H., & Van Middelaar, C. (2018). The potential of future foods for sustainable and healthy diets. *Nature Sustainability*, 1(12), 782-789.
- Takefuji, Y. (2021). Sustainable protein alternatives. *Trends in Food Science & Technology*, 107, 429-431.
- García-Parra, M., Zurita-Silva, A., Stechauner-Rohringer, R., Roa-Acosta, D., & Jacobsen, S.-E. (2020). Quinoa (*Chenopodium quinoa* Willd.) and its relationship with agroclimatic characteristics: A Colombian perspective. *Chilean journal of agricultural research*, 80(2), 290-302.
- Craine, E. B., & Murphy, K. M. (2020). Seed Composition and Amino Acid Profiles for Quinoa Grown in Washington State. *Frontiers in nutrition*, 7, 126.
- Plotnikoff, G.A., Dobberstein, L., & Raatz, S. (2023). Nutritional Assessment of the Symptomatic Patient on a Plant-Based Diet: Seven Key Questions. *Nutrients*, 15(6), 1387.
- Kim, T.-K., Lee, M. H., Yong, H. I., Jang, H. W., Jung, S., & Choi, Y.-S. (2021). Impacts of fat types and myofibrillar protein on the rheological properties and thermal stability of meat emulsion systems. *Food Chemistry*, 346, 128930.
- Patel, A. S., LakshmibalaSubramaniam, S., Nayak, B., & Camire, M. E. (2022). Lauric acid adsorbed cellulose nanocrystals retained the physical stability of oil-in-water Pickering emulsion during different dilutions, pH, and storage periods. *Food Hydrocolloids*, 124, 107139.
- Keshani, M., Zamindar, N., & Hajian, R. (2020). Effect of Immersion Ohmic Heating on Thawing Rate and Properties of Frozen Tuna Fish. *Iranian Food Science and Technology Research Journal*, 16(5), 621-628.
- Xu, B., Liu, C., Sun, H., Wang, X., & Huang, F. (2020). Oil-in-water Pickering emulsions using a protein nano-ring as high-grade emulsifiers. *Colloids and Surfaces B: Biointerfaces*, 187, 110646.
- Ji, C., & Luo, Y. (2023). Plant protein-based high internal phase Pickering emulsions: Functional properties and potential food applications. *Journal of Agriculture and Food Research*, 12, 100604.
- Barati, F., Zamindar, N., & Rafiae, S. (2024). The Study of Kinetics of Polyphenol Oxidase Inactivation in Carrot Juice by Ohmic Heating. *Iranian journal of food science and industry*, 21(153).
- Kidane, S. W. (2021). Application of response surface methodology in food process modeling and optimization. In *Response surface methodology in engineering science*. IntechOpen.
- Patterson, T. A., Parton, A., Langrock, R., Blackwell, P. G., Thomas, L., & King, R. (2017). Statistical modelling of individual animal movement: an overview of key methods and a discussion of practical challenges. *AStA Advances in Statistical Analysis*, 101, 399-438.
- Carley, K. M., Kamneva, N. Y., & Reminga, J. (2004). Response surface methodology (pp. 1-26). Carnegie Mellon University, School of Computer Science, Institute for Software Research International.
- Wilson, N., Cleghorn, C. L., Cobiac, L. J., Mizdrak, A., & Nghiem, N. (2019). Achieving healthy and sustainable diets: a review of the results of recent mathematical optimization studies. *Advances in Nutrition*, 10, S389-S403.
- Lee, S. Y., In, J., Chung, M.-S., & Min, S. C. (2021). Microbial decontamination of particulate food using a pilot-scale atmospheric plasma jet treatment system. *Journal of Food Engineering*, 294, 110436.

18. Lee, M. H., Lee, I. Y., Chun, Y. G., & Kim, B.-K. (2021). Formulation and characterization of  $\beta$ -caryophellene-loaded lipid nanocarriers with different carrier lipids for food processing applications. *LWT*, 149, 111805.
19. Liu, C., Pei, R., & Heinonen, M. (2022). Faba bean protein: A promising plant-based emulsifier for improving physical and oxidative stabilities of oil-in-water emulsions. *Food Chemistry*, 369, 130879.
20. Wang, S., Yang, J., Shao, G., Qu, D., Zhao, H., Yang, L., Zhu, L., He, Y., Liu, H., & Zhu, D. (2020). Soy protein isolated-soy hull polysaccharides stabilized O/W emulsion: Effect of polysaccharides concentration on the storage stability and interfacial rheological properties. *Food Hydrocolloids*, 101, 105490.
21. Chen, J., Li, X., Cao, C., Kong, B., Wang, H., Zhang, H., & Liu, Q. (2022). Effects of different pH conditions on interfacial composition and protein-lipid co-oxidation of whey protein isolate-stabilised O/W emulsions. *Food Hydrocolloids*, 131, 107752.
22. Huang, L., Zhao, X., Zhao, Q., Zhou, F., & Zhao, M. (2024). Recent Progress, Application, and Quality Evaluation of Plant-Based Double Emulsions in Low-Fat Foods. *Food and Bioprocess Technology*, 1-21.
23. Sharma, A., Singh, Y., Singh, G. K., Habte, A. T., & Singh, N. (2019). RETRACTED: Production of polanga methyl esters and optimization of diesel engine parameters through response surface methodology approach. In: Elsevier.
24. Xia, Q., Green, B. D., Zhu, Z., Li, Y., Gharibzahedi, S. M. T., Roohinejad, S., & Barba, F. J. (2019). Innovative processing techniques for altering the physicochemical properties of wholegrain brown rice (*Oryza sativa* L.)—opportunities for enhancing food quality and health attributes. *Critical Reviews in Food Science and Nutrition*, 59(20), 3349-3370.
25. Lonnie, M., Laurie, I., Myers, M., Horgan, G., Russell, W. R., & Johnstone, A. M. (2020). Exploring health-promoting attributes of plant proteins as a functional ingredient for the food sector: a systematic review of human interventional studies. *Nutrients*, 12(8), 2291.
26. Chen, Kai, Min Zhang, Arun S. Mujumdar, and Haixiang Wang. 2021. 'Quinoa protein-gum Arabic complex coacervates as a novel carrier for eugenol: Preparation, characterization and application for minced pork preservation', *Food Hydrocolloids*, 120: 106915.
27. Daliri, Hesam, Raman Ahmadi, Akram Pezeshki, Hamed Hamishehkar, Maryam Mohammadi, Hossein Beyrami, Maryam Khakbaz Heshmati, and Marjan Ghorbani. 2021. 'Quinoa bioactive protein hydrolysate produced by pancreatin enzyme- functional and antioxidant properties', *LWT*, 150: 111853.
28. Krstonošić, V. S., Kalić, M. D., Dapčević-Hadnadev, T. R., Lončarević, I. S., & Hadnadev, M. S. (2020). Physico-chemical characterization of protein stabilized oil-in-water emulsions. *Colloids and Surfaces A: Physicochemical and Engineering Aspects*, 602, 125045.
29. Karaca, A. C., Low, N., & Nickerson, M. (2011). Emulsifying properties of chickpea, faba bean, lentil and pea proteins produced by isoelectric precipitation and salt extraction. *Food research international*, 44(9), 2742-2750.
30. Kumar, M., Tomar, M., Potkule, J., Punia, S., Dhakane-Lad, J., Singh, S., ... & Kennedy, J. F. (2022). Functional characterization of plant-based protein to determine its quality for food applications. *Food Hydrocolloids*, 123, 106986.
31. Ghorbani, Mohammad, Mohammadi, Adele, Mojerabi, & Seyed Daniyal. (2021). Investigating the functional characteristics of co-precipitated proteins extracted from wastes of pomegranate and grape seeds. *New Technologies in Food Industry*, 8(3), 337-348(In Persian).